

## Математическая модель коэффициентов аэродинамических характеристик в продольном движении летательного аппарата на больших углах атаки с учётом отрывного обтекания

М. А. Захаров.

*В данной работе с целью повышения точности моделирования предлагается новая математическая модель аэродинамических характеристик с введением точных (нелинейных) выражений составляющих  $C_{y_{c.o.}}$ ,  $m_{z_{c.o.}}$ , соответствующих структуре обтекания. Эта модель является единой для точных (нелинейных) и приближённых (линеаризованных) выражений  $C_{y_{c.o.}}$ ,  $m_{z_{c.o.}}$ . Предполагается, что статические (нелинейные) составляющие  $C_{y_H}(\alpha, x_0(\alpha))$ ,  $m_{z_H}(\alpha, x_0(\alpha))$  могут быть определены по данным испытаний в аэродинамической трубе, а значения вращательных производных  $C_{y_*}^{\bar{\omega}_z}$ ,  $m_{z_*}^{\bar{\omega}_z}$  уточняются. Предлагается два варианта аналитической зависимости  $x_0(\alpha)$ , даётся их анализ и сравнение с известным вариантом [8]. На основе принятой зависимости  $x_0(\alpha)$  находится решение релаксационного уравнения с помощью программы "MathCAD". Рассматриваются погрешности линеаризации отклонения  $\xi$  и нестационарной составляющей  $C_{y_{c.o.}}$ , соответствующей структуре обтекания, при возрастании амплитуды колебаний  $\alpha$ .*

Традиционная форма представления коэффициентов аэродинамических характеристик (АХ) основана на предположении, что любой коэффициент АХ есть функция кинематических параметров движения летательного аппарата (ЛА) и их производных [1,2].

Так в общем случае изолированного продольного движения коэффициенты нормальной силы и момента тангажа можно соответственно представить в виде:

$$\begin{aligned} C_y &= C_{y_0}(\alpha) + C_y^\alpha(\alpha)\alpha + C_y^\varphi(\alpha)\varphi + C_y^{\bar{\omega}_z}(\alpha)\bar{\omega}_z + C_y^{\bar{\alpha}}(\alpha)\bar{\alpha}; \\ m_y &= m_{z_0}(\alpha) + m_z^\alpha(\alpha)\alpha + m_z^\varphi(\alpha)\varphi + m_z^{\bar{\omega}_z}(\alpha)\bar{\omega}_z + m_z^{\bar{\alpha}}(\alpha)\bar{\alpha}, \end{aligned} \quad (1)$$

где:  $\alpha$  – угол атаки;  $\omega_z$ ,  $\dot{\alpha}$ ,  $\bar{\omega}_z$ ,  $\bar{\alpha}$  – размерные и безразмерные угловая скорость тангажа ЛА и производная угла атаки

$$\bar{\omega}_z = \frac{\omega_z b_A}{V}; \quad \bar{\alpha} = \frac{\dot{\alpha} b_A}{V},$$

$b_A$  – средняя аэродинамическая хорда крыла;  $V$  – воздушная скорость полёта ЛА;  $\Phi$  – угол отклонения поворотного стабилизатора;  $C_{y_0}(\alpha), m_{z_0}(\alpha)$  – начальные составляющие, зависящие от  $\alpha$ ;  $C_y^\alpha(\alpha), C_y^\Phi(\alpha), m_z^\alpha(\alpha), m_z^\Phi(\alpha)$  – статические аэродинамические производные;  $C_{y^*}^{\bar{\omega}_z}, m_{z^*}^{\bar{\omega}_z}, C_{y^*}^{\bar{\alpha}}, m_{z^*}^{\bar{\alpha}}$  – соответственно переменные вращательные и нестационарные аэродинамические производные.

В частном случае, в ограниченном диапазоне углов атаки ( $\alpha < 15^\circ \div 20^\circ$ ), величины  $C_{y_0}, m_{z_0}, C_y^\alpha, m_z^\alpha$  считаются постоянными.

При использовании модели (1) трудно учесть эффекты отрывного обтекания, поскольку нельзя однозначно связать состояние отрывного обтекания с текущими значениями кинематических параметров движения ( $\alpha, \dot{\alpha}$ ).

При альтернативной, интегральной форме представления нестационарных АХ [1, 2] коэффициенты аэродинамической силы и момента записываются в виде функционалов – интегральных выражений, зависящих от времени и кинематических переменных. Однако из-за происходящих качественных изменений структуры обтекания на больших углах атаки функционал зависит от предыстории движения и описание становится чрезвычайно сложным.

Для описания процессов при изолированном продольном движении ЛА на больших углах атаки в работах [1, 3] была предложена математическая модель выражения коэффициентов АХ с введением релаксационного (дифференциального) уравнения, включающего внутреннюю переменную состояния  $x$ , в виде:

$$\begin{aligned} C_y &= C_{yH}(\alpha, x) + C_{y^*}^{\bar{\omega}_z} \bar{\omega}_z + C_{y^*}^{\bar{\alpha}} \bar{\alpha} + C_y^\Phi(\alpha)\Phi ; \\ m_z &= m_{zH}(\alpha, x) + m_{z^*}^{\bar{\omega}_z} \bar{\omega}_z + m_{z^*}^{\bar{\alpha}} \bar{\alpha} + m_z^\Phi(\alpha)\Phi ; \end{aligned} \quad (2)$$

$$\tau_1 \frac{dx}{dt} + x = x_0(\alpha - \tau_2 \dot{\alpha}) , \quad (3)$$

где:  $x$  – внутренняя переменная состояния,  $x \in [0,1]$ ; может рассматриваться как относительная координата по хорде крыла точки отрыва потока с верхней поверхности (или взрыва вихрей);  $\tau_1$  – постоянная времени (размерности [с]), обусловленная инерционностью процессов развития отрывного обтекания или восстановления безотрывного обтекания (связанных со скоростью  $|\dot{x} > 0|$ );  $\tau_2$  – постоянная времени (размерности [с]), характеризующая эффекты затягивания развития отрывного обтекания (связанные с нестационарностью угла атаки  $|\dot{\alpha} > 0|$ );  $C_{y^*}^{\bar{\omega}_z}, m_{z^*}^{\bar{\omega}_z}, C_{y^*}^{\bar{\alpha}}, m_{z^*}^{\bar{\alpha}}$  – соответственно постоянные вращательная и нестационарная аэродинамические производные (со звёздочками);  $C_{yH}(\alpha, x), m_{zH}(\alpha, x)$  – нелинейные составляющие аэродинамических коэффициентов, описывающие нестационарные и нелинейные особенности возникновения отрывного обтекания на

профиле, определяются или формулами Чаплыгина-Лаврентьева, или по формулам с включением весовой функции  $g(x)$ , выражающей переходные режимы обтекания [3].

Для крыльев обычного профиля равенство  $x=1$  соответствует безотрывному обтеканию. При увеличении угла  $\alpha$  точка отрыва потока перемещается с задней кромки профиля к передней. При  $x=0$  наступает полностью отрывное обтекание. Для треугольных крыльев при  $x=1$  – развитая вихревая структура над крылом. При увеличении  $\alpha$  точка исчезновения (взрыва) вихрей перемещается с задней кромки к передней. При  $x=0$  вихри над крылом отсутствуют. Для полной компоновки самолёта при наличии горизонтального оперения и при одновременном действии отрывного и вихревого обтекания, переменная  $x$  выступает в виде обобщенной переменной.

В [3] для уравнения (3) используются безразмерные постоянные времени  $\bar{\tau}_1 = \frac{\tau_1 V}{b_A}$ ,  $\bar{\tau}_2 = \frac{\tau_2 V}{b_A}$  и

безразмерные производные  $\bar{\alpha}$ ,  $\bar{x} = \frac{\dot{x} \cdot V}{b_A}$ .

При очень медленном изменении угла  $\alpha$  (стационарные условия)

$$\dot{\alpha} = 0; \quad \dot{x} = 0 \quad (4)$$

из (3) следует:

$$x(\alpha) = x_0(\alpha).$$

Указанная математическая модель (2), в статическом режиме ( $\dot{\alpha} = 0$ ,  $\omega_z = 0$ ,  $\dot{x} = 0$ ) имеет вид:

$$\begin{aligned} C_{y_{cr}}(\alpha, \varphi) &= C_{y_H}(\alpha, x_0(\alpha)) + C_y^\varphi(\alpha)\varphi; \\ m_{z_{cr}}(\alpha, \varphi) &= m_{z_H}(\alpha, x_0(\alpha)) + m_z^\varphi(\alpha)\varphi. \end{aligned} \quad (5)$$

Для нестационарных условий при малых возмущениях (в частности при вынужденных колебаниях с маленькой амплитудой) предложена линеаризованная по  $\xi$  форма уравнений (2)

$$\begin{aligned} C_y &= C_{y_{cr}}(\alpha, \varphi) + \frac{\partial C_y}{\partial x} \xi + C_{y_*}^{\bar{\alpha}} \cdot \bar{\alpha} + C_{y_*}^{\bar{\omega}_z} \cdot \bar{\omega}_z; \\ m_z &= m_{z_{cr}}(\alpha, \varphi) + \frac{\partial m_z}{\partial x} \xi + m_{z_*}^{\bar{\alpha}} \cdot \bar{\alpha} + m_{z_*}^{\bar{\omega}_z} \cdot \bar{\omega}_z, \end{aligned} \quad (6)$$

где:  $\xi(t)$  – отклонение внутренней переменной  $x$  относительно этой же переменной в стационарных условиях, при данном угле атаки  $\alpha(t)$ .

$$\xi(t) = x(t) - x_0(\alpha(t)). \quad (7)$$

При малых  $\xi$  и линеаризации правой части (3) по малой величине  $\tau_2 \dot{\alpha}$  из (3) и (7) получают уравнение относительно  $\xi$  [1, 3]:

$$\tau_1 \dot{\xi} + \xi = -(\tau_1 + \tau_2) \frac{dx_0(\alpha)}{d\alpha} \dot{\alpha}. \quad (8)$$

Выполняя преобразование Лапласа к выражению (8), найдём зависимость  $\xi(p) = f(\alpha(p))$  (где  $p$  – оператор Лапласа). Затем, используя обратное преобразование Лапласа  $\xi(t) = L^{-1}(f(\alpha(p)))$ , подставляем это выражение в (6).

$$\begin{aligned} C_y &= C_{y_{ст}}(\alpha, \varphi) + K_c(\alpha) L^{-1} \left( \frac{p\alpha(p)}{1 + \tau_1 p} \right) + C_{y_*}^{\bar{\alpha}} \cdot \bar{\alpha} + C_{y_*}^{\bar{\omega}_z} \cdot \bar{\omega}_z ; \\ m_z &= m_{z_{ст}}(\alpha, \varphi) + K_m(\alpha) L^{-1} \left( \frac{p\alpha(p)}{1 + \tau_1 p} \right) + m_{z_*}^{\bar{\alpha}} \cdot \bar{\alpha} + m_{z_*}^{\bar{\omega}_z} \cdot \bar{\omega}_z , \end{aligned} \quad (9)$$

где  $K_c(\alpha)$ ,  $K_m(\alpha)$  - коэффициенты размерности [с]:

$$\begin{aligned} K_c(\alpha) &= -(\tau_1 + \tau_2) \frac{\partial C_y}{\partial x} \frac{dx_0}{d\alpha} ; \\ K_m(\alpha) &= -(\tau_1 + \tau_2) \frac{\partial m_z}{\partial x} \frac{dx_0}{d\alpha} . \end{aligned} \quad (10)$$

В работе [4] с учётом (3) показывается, что выражение  $K_c(\alpha) L^{-1} \left( \frac{p\alpha(p)}{1 + \tau_1 p} \right)$  в (9) соответствует

интегралу Дюамеля:  $-a \int_0^t e^{-\tau/\tau_1} \frac{d}{d\tau} \alpha(\tau) d\tau$  в интегральной форме представления АХ,

где:  $a = \frac{\tau_1 + \tau_2}{\tau_1} \frac{dx_0}{d\alpha} \frac{\partial C_y}{\partial x}$ ;  $\tau$  – характерная переменная интеграла Дюамеля.

При этом для описания продольного движения ЛА в форме Коши, уравнение (8) записано в качестве дополнительного уравнения к уравнениям динамики с производными  $\dot{\alpha}(t)$ ;  $\dot{\omega}_z(t)$ . Линеаризуя подобные уравнения (в том числе (8)), получают [5] уравнения движения в отклонениях  $(\Delta\xi, \Delta\alpha, \Delta\omega_z)$  от опорного режима, для нахождения условий устойчивости продольного движения ЛА.

В некоторых манёврах ЛА при продольном движении (в частности в манёвре “Кобра Пугачёва” [6]) наблюдаются малые изменения углов наклона траектории при больших изменениях углов тангажа и атаки. Это равносильно следующему соотношению

$$\omega_z \approx \dot{\alpha} . \quad (11)$$

В работе [7] (опираясь на связь с традиционным описанием коэффициентов АХ (1)) показано, что для этого случая значения  $C_{y_H}(\alpha, x_0(\alpha))$ ,  $m_{z_H}(\alpha, x_0(\alpha))$  соответственно равны статическим параметрам (определяемым точнее при статических аэродинамических испытаниях при  $\varphi = 0$ ):

$$\begin{aligned} C_{y_H}(\alpha, x_0(\alpha)) &= C_{y_0}(\alpha) + C_y^\alpha(\alpha) \alpha ; \\ m_{z_H}(\alpha, x_0(\alpha)) &= m_{z_0}(\alpha) + m_z^\alpha(\alpha) \alpha , \end{aligned} \quad (12)$$

и вместо выражений (2), (6), (9) можно записать единую для точного (нелинейного) и приближенного (линеаризованного) представления модель:

$$\begin{aligned} C_y &= C_{y_0}(\alpha) + C_y^\alpha(\alpha)\alpha + C_y^\varphi(\alpha)\varphi + C_{y_{c.o.}}(\alpha, x) + \left( C_{y_*}^{\bar{\omega}_z} + C_{y_*}^{\bar{\alpha}} \right) \bar{\alpha} ; \\ m_y &= m_{z_0}(\alpha) + m_z^\alpha(\alpha)\alpha + m_z^\varphi(\alpha)\varphi + m_{z_{c.o.}}(\alpha, x) + \left( m_{z_*}^{\bar{\omega}_z} + m_{z_*}^{\bar{\alpha}} \right) \bar{\alpha} ; \end{aligned} \quad (13)$$

$$\tau_1 \frac{dx}{dt} + x = x_0(\alpha - \tau_2 \dot{\alpha}) ,$$

где:  $\left( C_{y_*}^{\bar{\omega}_z} + C_{y_*}^{\bar{\alpha}} \right)$ ,  $\left( m_{z_*}^{\bar{\omega}_z} + m_{z_*}^{\bar{\alpha}} \right)$  – постоянные комплексы (со звёздочками) вращательных и нестационарных производных АХ, равные комплексам АХ (без звёздочек), измеряемым (в аэродинамической трубе по методу вынужденных колебаний) при частоте колебаний, стремящейся к бесконечности (это следует из формулы (15) работы [3]);  $C_{y_{c.o.}}(\alpha, x)$ ,  $m_{z_{c.o.}}(\alpha, x)$  – нестационарные составляющие (коэффициентов нормальной силы и момента тангажа), соответствующие структуре обтекания, которые соответственно равны либо точным (нелинейным) выражениям:

$$\begin{aligned} C_{y_{c.o.н}}(\alpha, x) &= C_{y_H}(\alpha, x) - C_{y_H}(\alpha, x_0(\alpha)) = C_{y_\xi}(\alpha, \xi) \cdot \xi ; \\ m_{z_{c.o.н}}(\alpha, x) &= m_{z_H}(\alpha, x) - m_{z_H}(\alpha, x_0(\alpha)) = m_{z_\xi}(\alpha, \xi) \cdot \xi , \end{aligned} \quad (14)$$

либо (при  $\xi \rightarrow 0$ ) приближённым (линеаризованным) выражениям:

$$\begin{aligned} C_{y_{c.o.л}}(\alpha, x) &= \frac{\partial C_y}{\partial x} \cdot \xi = K_c(\alpha) \cdot L^{-1} \left( \frac{p\alpha(p)}{1 + \tau_1 p} \right) ; \\ m_{z_{c.o.л}}(\alpha, x) &= \frac{\partial m_z}{\partial x} \cdot \xi = K_m(\alpha) \cdot L^{-1} \left( \frac{p\alpha(p)}{1 + \tau_1 p} \right) , \end{aligned} \quad (15)$$

где:  $C_{y_\xi}(\alpha, \xi)$ ,  $m_{z_\xi}(\alpha, \xi)$  – коэффициенты пропорциональности, зависящие от  $\xi$ .

Иначе говоря, для линеаризованного представления АХ значения  $\xi$  принимаются небольшими и коэффициенты пропорциональности  $C_{y_\xi}(\alpha, \xi)$ ,  $m_{z_\xi}(\alpha, \xi)$  соответственно равны производным

$\frac{\partial C_y}{\partial x}$ ,  $\frac{\partial m_z}{\partial x}$ , а для точного (нелинейного) представления отклонения  $\xi$  – значительные и коэф-

фициенты пропорциональности  $C_{y_\xi}$  и  $m_{z_\xi}$  сначала равны, а затем отклоняются от значений указанных производных при увеличении  $\xi$  от 0 до максимального значения.

Поскольку  $x_0 = f(\alpha)$ ,  $x = f(\alpha, \dot{\alpha})$  и коэффициенты уравнений (12), (14), (15) в конечном итоге зависят от  $\alpha$  и  $\dot{\alpha}$ , то делаем вывод, что уравнения (12), (14), (15) справедливы при любом соотношении  $\omega_z$  и  $\dot{\alpha}$ , и единая модель с применением (14), (15) имеет вид:

$$\begin{aligned} C_y &= C_{y_0}(\alpha) + C_y^\alpha(\alpha)\alpha + C_y^\varphi(\alpha)\varphi + C_{y_{c.o.}}(\alpha, x) + C_{y_*}^{\bar{\omega}_z} \cdot \bar{\omega}_z + C_{y_*}^{\bar{\alpha}} \cdot \bar{\alpha} ; \\ m_y &= m_{z_0}(\alpha) + m_z^\alpha(\alpha)\alpha + m_z^\varphi(\alpha)\varphi + m_{z_{c.o.}}(\alpha, x) + m_{z_*}^{\bar{\omega}_z} \cdot \bar{\omega}_z + m_{z_*}^{\bar{\alpha}} \cdot \bar{\alpha} ; \end{aligned} \quad (16)$$

$$\tau_1 \frac{dx}{dt} + x = x_0(\alpha - \tau_2 \dot{\alpha}) .$$

Поэтому сравнивая (1) и (16) в стационарных условиях (4) и при учёте (14), можно уточнить значения  $C_{y_*}^{\bar{\omega}_z}, m_{z_*}^{\bar{\omega}_z}$ :

$$\begin{aligned} C_{y_*}^{\bar{\omega}_z} &= C_{y_*}^{\bar{\omega}_z}; \\ m_{z_*}^{\bar{\omega}_z} &= m_{z_*}^{\bar{\omega}_z}. \end{aligned} \quad (17)$$

Для моделирования указанных уравнений состояния и решения релаксационного уравнения (3) необходимо знать функцию  $x_0(\alpha)$ . Эта функция может быть определена экспериментально либо из расчётного решения соответствующей задачи для вязкого воздушного потока [3]. При этом определённый интерес представляет её аналитическая аппроксимация. Известный вариант аналитической зависимости  $x_0(\alpha)$  представлен в [8]:

$$x_{01}(\alpha) = 0.5 \{ 1 - \tanh[2 \cdot K_x (\alpha - \alpha_x)] \} , \quad (18)$$

где:  $K_x$  – модуль углового коэффициента касательной к функции  $x_0(\alpha)$  в точке её перегиба,  $\alpha_x$  – угол точки перегиба функции  $x_0(\alpha)$ .

Параметры  $K_x$  и  $\alpha_x$  могут быть определены методами идентификации исследуемых физической модели или самолёта.

С целью получения возможности более близкого воспроизведения реальной зависимости в настоящей работе предлагается новая аппроксимация  $x_0(\alpha)$  в двух вариантах:

$$а) \ x_{02}(\alpha) = 0.5 \{ 1 - \operatorname{erf}[\sqrt{\pi} \cdot K_x (\alpha - \alpha_x)] \} , \quad (19)$$

где:

$$\operatorname{erf}(z) = \frac{2}{\sqrt{\pi}} \sum \frac{(-1)^n \cdot z^{(2n+1)}}{n! \cdot (2 \cdot n + 1)} \text{— функция ошибок (интеграл вероятности);} \quad (20)$$

$$z = \sqrt{\pi} \cdot K_x (\alpha - \alpha_x) ,$$

$$б) \ x_{03}(\alpha) = 0.5 \left\{ 1 - \frac{2}{\pi} \operatorname{arctg}[\pi \cdot K_x (\alpha - \alpha_x)] \right\} . \quad (21)$$

Для сравнения показанных функций находим их производные:

$$\frac{dx_{01}}{d\alpha} = -K_x \left\{ 1 - [\tanh[2 \cdot K_x (\alpha - \alpha_x)]]^2 \right\} , \quad (22)$$

$$\frac{dx_{02}}{d\alpha} = -K_x \cdot \exp[-\pi \cdot K_x^2 (\alpha - \alpha_x)^2] , \quad (23)$$

$$\frac{dx_{03}}{d\alpha} = -\frac{K_x}{1 + \pi^2 \cdot K_x^2 (\alpha - \alpha_x)^2} . \quad (24)$$

Все указанные производные при  $\alpha = \alpha_x$  равны  $(-K_x)$ . Рассмотренные зависимости (18), (19), (21) - (24) приведены на рис. 1 (где:  $K_x = 1$ ;  $\alpha_x = 50^\circ$ ). Видно, что при данном  $K_x$  в районе точки

$\alpha = \alpha_x$  производная  $\frac{dx_{03}}{d\alpha}$  имеет самую крутую впадину, а  $\frac{dx_{02}}{d\alpha}$  - самую пологую.

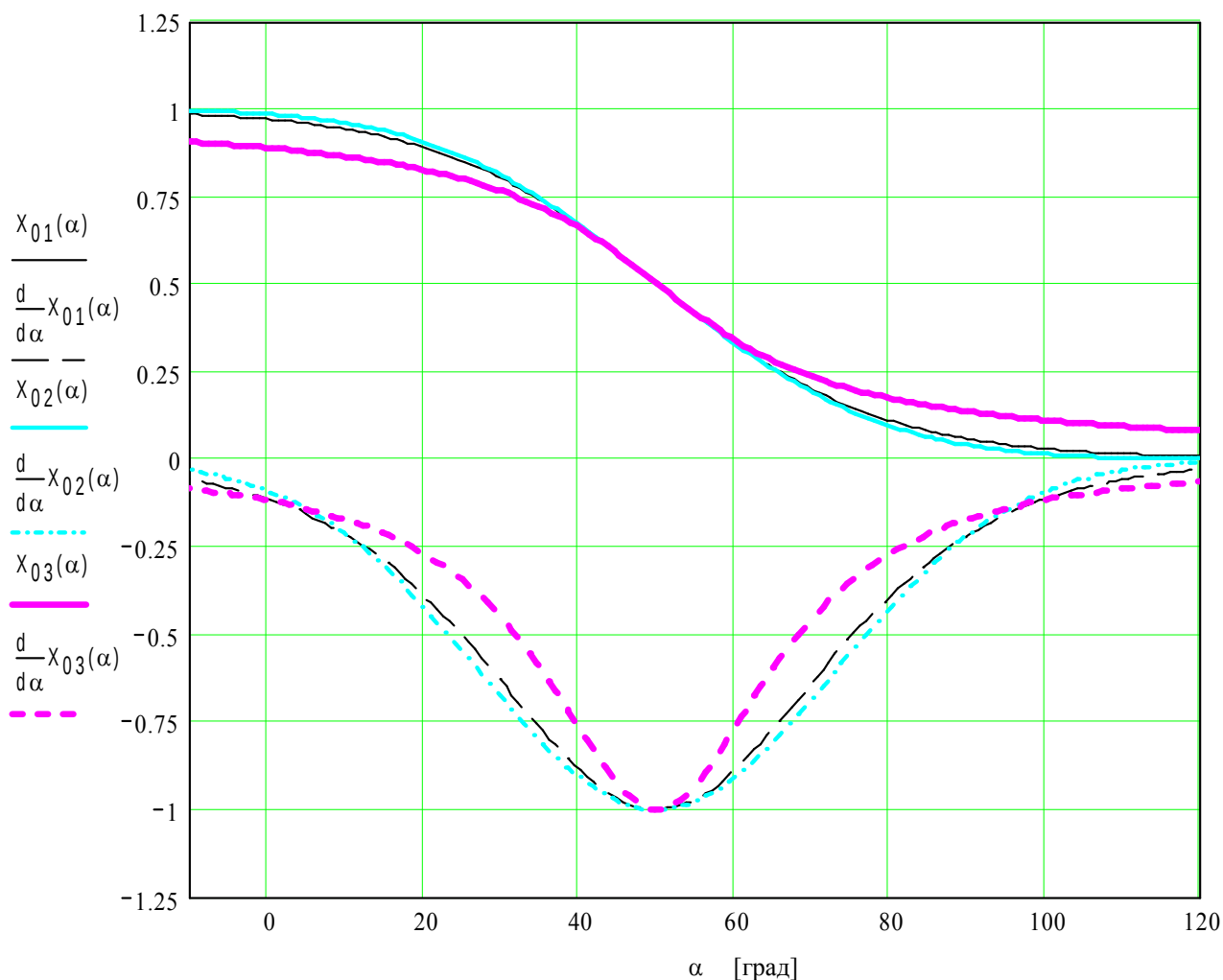


Рис. 1

Располагая выражением производной  $\frac{dx_0}{d\alpha}$  и зная выражения частных производных  $\frac{\partial C_y}{\partial x}$  и

$\frac{\partial m_z}{\partial x}$ , можно решить уравнение (10) и сравнить с экспериментальными значениями  $K_c(\alpha)$  и

$K_m(\alpha)$  (полученными, например, в [3]).

Проведём анализ погрешности приращения  $\xi$  из-за линеаризации уравнения (3).

Для получения уравнения (8) ранее была проведена линеаризация правой части уравнения (3), и за основу принято приближённое соотношение:

$$x_0(\alpha - \tau_2 \dot{\alpha}) \cong x_0(\alpha) - \frac{dx_0(\alpha)}{d\alpha} \cdot \tau_2 \dot{\alpha} . \quad (25)$$

Справедливо равенство:

$$x_0(\alpha - \tau_2 \dot{\alpha}) = x_0(\alpha) - \frac{dx_0(\alpha)}{d\alpha} \cdot \tau_2 \dot{\alpha} + \varepsilon , \quad (26)$$

где:  $\varepsilon$  – малая величина.

Соответственно уравнение (8) является приближённым. В более точном виде:

$$\tau_1 \dot{\xi}_p + \xi_p = -(\tau_1 + \tau_2) \frac{dx_0(\alpha)}{d\alpha} \cdot \dot{\alpha} = -(\tau_1 + \tau_2) \frac{dx_0(\alpha)}{dt} , \quad (27)$$

где:  $\xi_p$  – расчётное значение отклонения  $\xi$ , которое отличается от истинного значения на величину  $\Delta\xi$  – абсолютной погрешности линеаризации (ошибки в определении отклонения  $\xi$ , вызванной пренебрежением величиной  $\varepsilon$ ):

$$\Delta\xi = \xi_p - \xi . \quad (28)$$

Проведём сравнение точного (нелинейного) и приближённого (линеаризованного) представления нестационарной составляющей, соответствующей структуре обтекания (на примере составляющей коэффициента нормальной силы). Рассмотрим аппроксимацию нелинейной функции

$C_{y_H}(\alpha, x)$ , входящей в (2) [1]

$$C_{y_H}(\alpha, x) = \frac{\pi}{2} \sin \alpha (1 + \sqrt{x})^2 . \quad (29)$$

Тогда в стационарном режиме (4) имеем

$$C_{y_H}(\alpha, x_0(\alpha)) = \frac{\pi}{2} \sin \alpha (1 + \sqrt{x_0(\alpha)})^2 . \quad (30)$$

Точное (нелинейное) выражение нестационарной составляющей коэффициента, соответствующей структуре обтекания из (29), (30), (14):

$$C_{y_{c.o.H}}(\alpha, x) = \frac{\pi}{2} \sin \alpha \left( 1 + \frac{2}{\sqrt{x} + \sqrt{x_0(\alpha)}} \right) \cdot \xi(t) = C_{y_\xi}(\alpha, \xi) \cdot \xi(t) , \quad (31)$$

$$\text{где: } C_{y_\xi}(\alpha, \xi) = \frac{\pi}{2} \sin \alpha \left( 1 + \frac{2}{\sqrt{x} + \sqrt{x_0(\alpha)}} \right) , \quad (32)$$

при малых  $\xi$ :  $x \rightarrow x_0(\alpha)$  и

$$\lim_{\xi \rightarrow 0} C_{y_\xi}(\alpha, \xi) = \frac{\partial C_y}{\partial x} = \frac{\pi}{2} \sin \alpha \left( 1 + \frac{1}{\sqrt{x_0(\alpha)}} \right) . \quad (33)$$

Таким образом, из (33) и (15) получаем приближённое (линеаризованное) выражение нестационарной составляющей, соответствующей структуре обтекания:

$$C_{y_{c.o.H}}(\alpha, x) = \frac{\pi}{2} \sin \alpha \left( 1 + \frac{1}{\sqrt{x_0(\alpha)}} \right) \cdot \xi(t) . \quad (34)$$

Абсолютная погрешность нестационарной составляющей, соответствующей структуре обтекания, возникающая при её линейризации:

$$\Delta C_{y_{c.o.}}(\alpha, x) = C_{y_{c.o.л}}(\alpha, x) - C_{y_{c.o.н}}(\alpha, x). \quad (35)$$

Пусть при периодическом изменении  $\alpha$  функция  $\xi(t)$  достигает максимума при  $t = t_{1\max}$ , функция  $\Delta\xi(t)$  - при  $t = t_{2\max}$ , функция  $C_{y_{c.o.н}}(t)$  - при  $t = t_{3\max}$ , функция  $\Delta C_{y_{c.o.}}(t)$  - при  $t = t_{4\max}$ . Тогда можно определить относительную погрешность линейризации  $(\delta_{\text{пер}}\xi)$  [%] приращения  $\xi$  для периодического (отсюда индекс “пер”) изменения  $\alpha$ :

$$\delta_{\text{пер}}\xi = \frac{100 \cdot \Delta\xi(t_{2\max})}{\xi(t_{1\max})} [\%], \quad (36)$$

а относительную погрешность нестационарной составляющей, соответствующей структуре обтекания  $(\delta C_{y_{c.o.}})$  [%], возникающей при линейризации этой составляющей для периодического изменения  $\alpha$ :

$$\delta_{\text{пер}}C_{y_{c.o.}} = \frac{100 \cdot \Delta C_{y_{c.o.}}(t_{4\max})}{C_{y_{c.o.н}}(t_{3\max})} [\%]. \quad (37)$$

При принятой аналитической зависимости  $x_0(\alpha)$  и для известного закона изменения угла атаки  $\alpha(t)$ , решения релаксационного уравнения (3) и дифференциального уравнения (27) можно получить с помощью ЭВМ. При этом последовательно решаем (3), (7), (27), (28), (35) выбирая  $\alpha(t < 0) = \alpha(t = 0) = \alpha_0$ ,  $x(t < 0) = x(t = 0) = x_0(\alpha(t = 0))$ ,  $\xi_p(t = 0) = 0$ , и получаем  $x(t)$ ,  $\xi(t)$ ,  $\xi_p(t)$ ,  $\Delta\xi(t)$ ,  $\Delta C_{y_{c.o.}}(t)$ . Рассмотрим решение с помощью персонального компьютера в программной среде “MathCAD” на примере появления синусоидальных колебаний угла атаки

$$\alpha = \alpha_0 + \alpha_s \sin \omega t \quad \left( \alpha_0 = 40^\circ, \quad \omega = 1 \frac{1}{c} \right). \text{ Принимаем } x_0(\alpha) = x_{01}(\alpha). \text{ Проводим решение для } \alpha_s = 5^\circ.$$

После нахождения максимальных значений  $\xi(t_{1\max})$ ,  $100 \cdot \Delta\xi(t_{2\max})$ ,  $C_{y_{c.o.н}}(t_{3\max})$ ,  $100 \cdot \Delta C_{y_{c.o.}}(t_{4\max})$  находим значения относительных погрешностей линейризации  $\delta_{\text{пер}}\xi = 5,81\%$ ,  $\delta_{\text{пер}}C_{y_{c.o.}} = 2,45\%$ .

Значения  $x(t)$ ,  $\xi(t)$ ,  $\xi_p(t)$ , совместно с другими параметрами (в том числе  $\frac{\alpha(t)}{\alpha_0}$ ,  $100 \cdot \Delta\xi(t)$ )

приведены как функции  $t$  [с] и  $\alpha$  [град] на графиках рис. 2 – 7. Значения

$C_{y_{c.o.н}}(t)$ ,  $C_{y_{c.o.л}}(t)$ ,  $100 \cdot \Delta C_{y_{c.o.}}(t)$  приведены на графиках рис. 10, 11.

На рисунках 8, 9 приведены графики зависимостей  $\xi(t)$ ,  $\xi_p(t)$ ,  $100 \cdot \Delta\xi(t)$ , а на рисунках 12, 13  $C_{y_{c.o.n}}(t)$ ,  $C_{y_{c.o.l}}(t)$ ,  $100 \cdot \Delta C_{y_{c.o.}}(t)$  для амплитуды колебаний  $\alpha_s = 10^\circ$ . При этом относительные погрешности линеаризации  $\delta_{\text{пер}}\xi = 12,77\%$ ,  $\delta_{\text{пер}}C_{y_{c.o.}} = 5,56\%$ .

Из сравнения графиков рис. 6-9 и параметров уравнений при  $\alpha_s = 5^\circ$  и при  $\alpha_s = 10^\circ$  видно, что для  $\alpha_s = 10^\circ$  значения  $\xi(t_{1_{\text{max}}})$ ,  $100 \cdot \Delta\xi(t_{2_{\text{max}}})$  и  $\delta_{\text{пер}}\xi$  соответственно больше, чем для  $\alpha_s = 5^\circ$ .

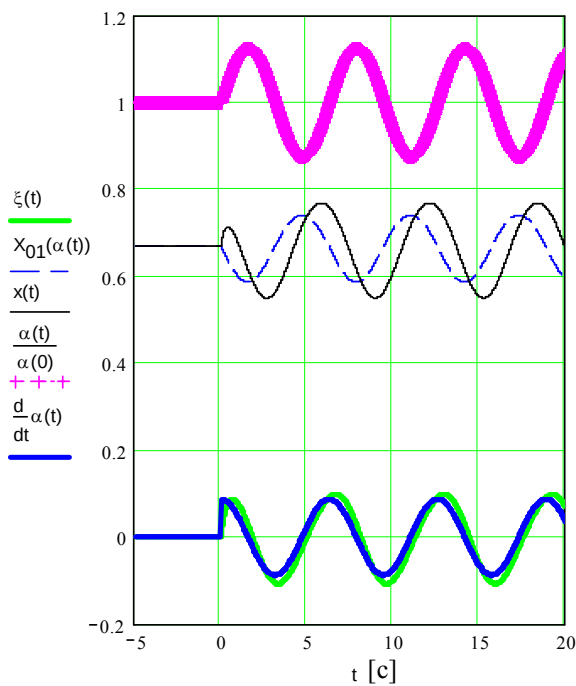


рис 2

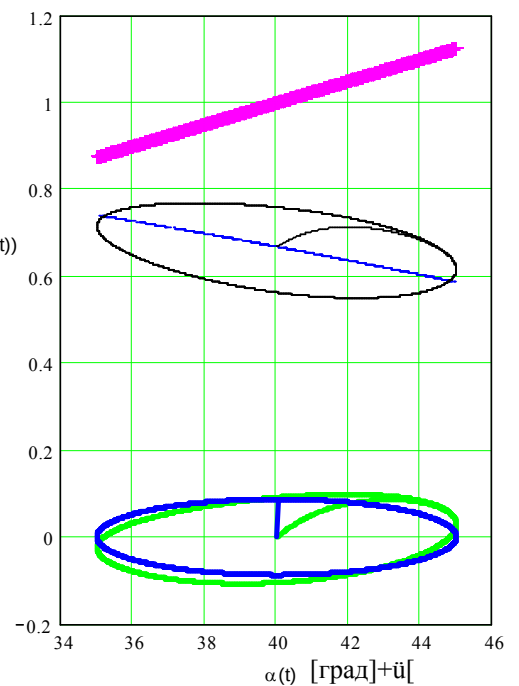


рис 3

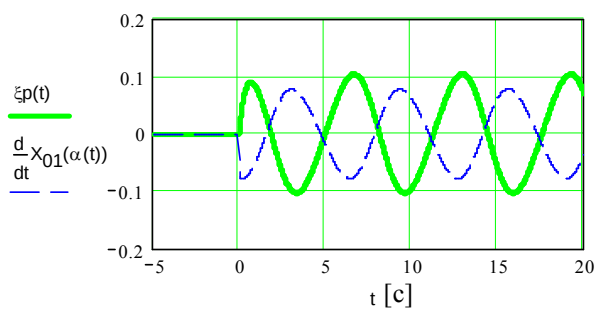


рис 4

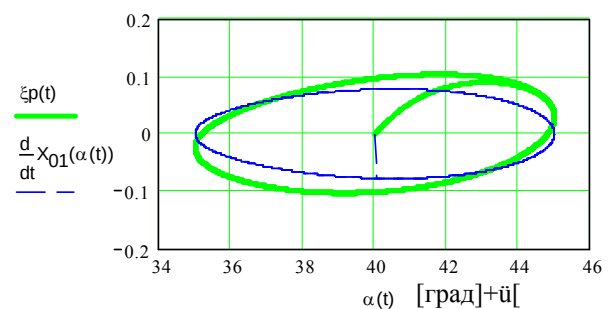


рис 5

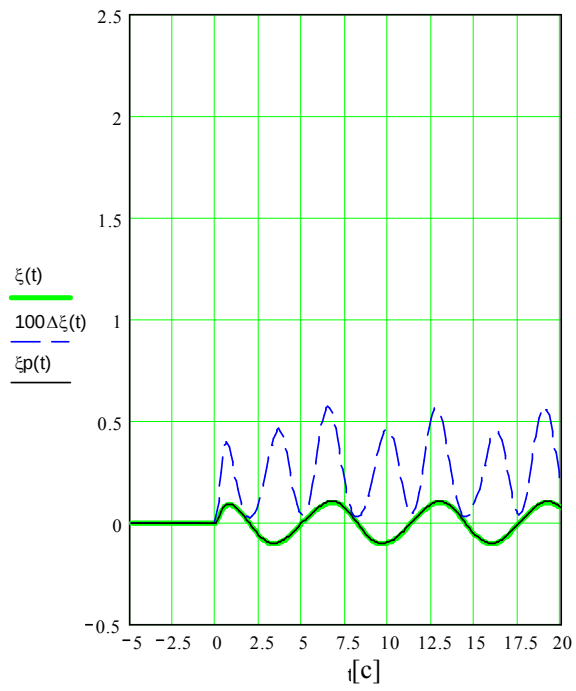


рис 6

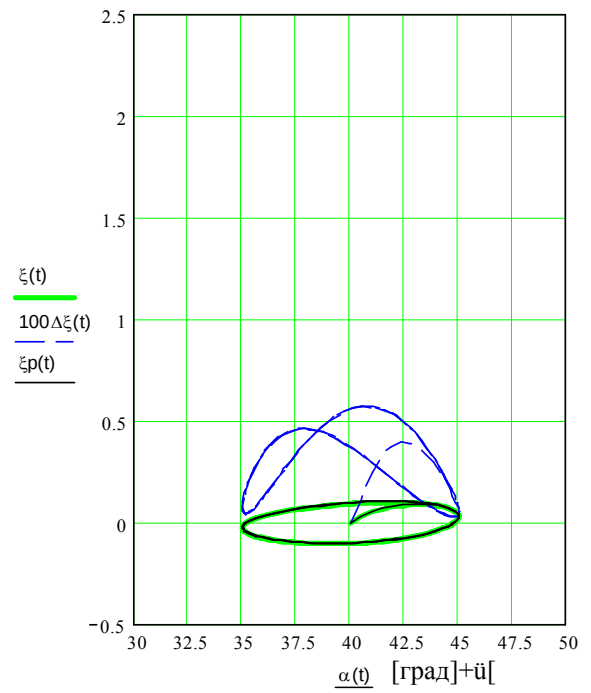


рис 7

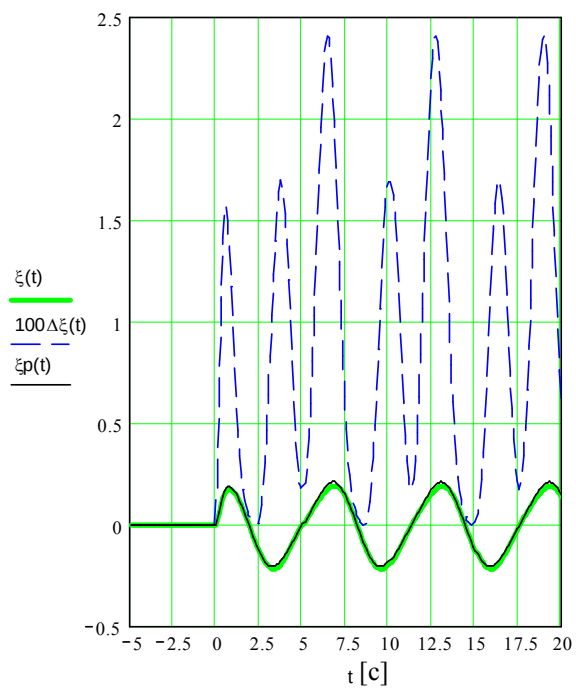


рис 8

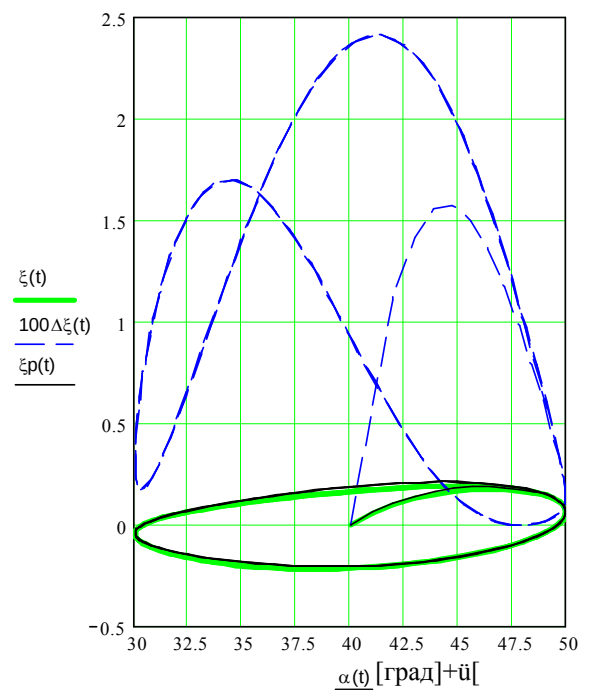


рис 9

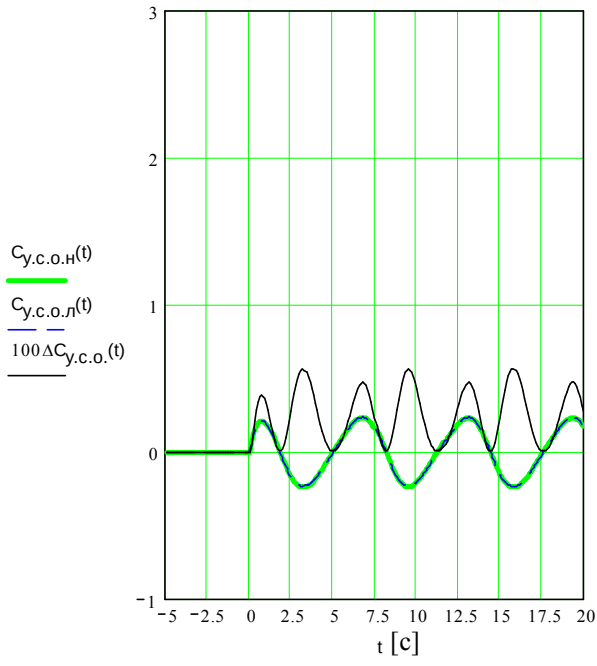


рис 10

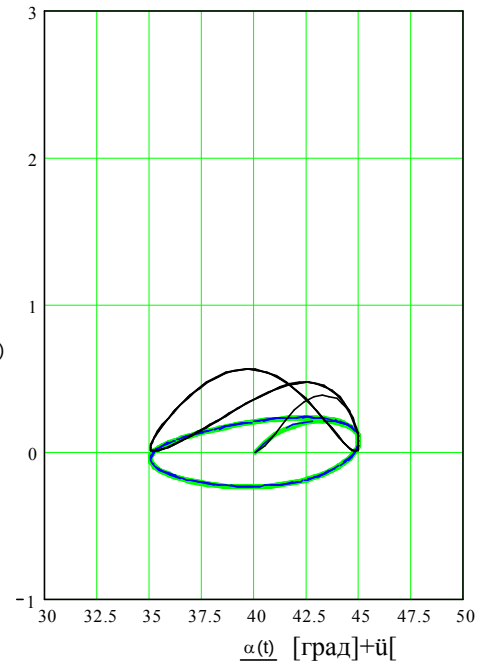


рис 11

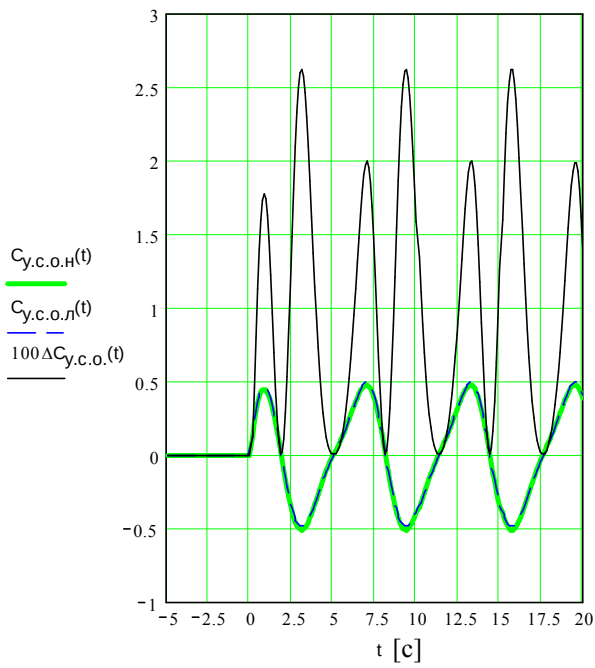


рис 12

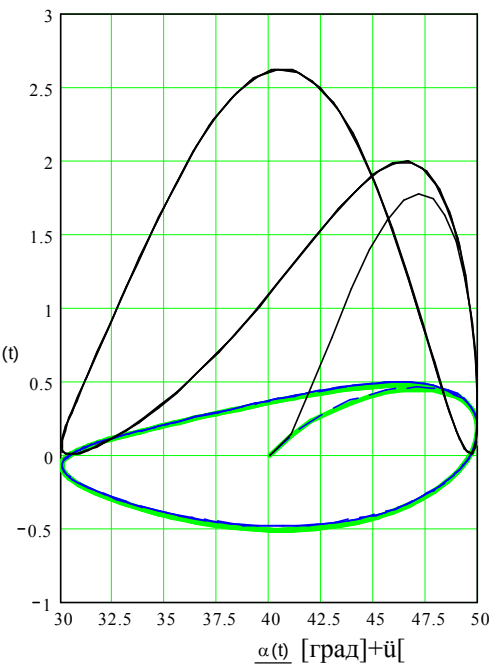


рис 13

Таким образом, при росте амплитуды (с сохранением частоты) колебаний угла атаки  $\alpha$ , отклонение  $\xi(t)$  увеличивается, математическая модель (8) отклоняется от линейной, и абсолютная и относительная погрешности линеаризации возрастают. Поэтому для повышения точности при получении  $\xi$  желательно вместо (8) использовать решения (3), (7).

Из сравнения графиков 10-13 и погрешностей при  $\alpha_s = 5^\circ$  и при  $\alpha_s = 10^\circ$  также видно, что значения  $C_{y_{c.o.H}}(t_{3_{\max}})$ ,  $100 \cdot \Delta C_{y_{c.o.}}(t_{4_{\max}})$  и  $\delta_{\text{пер}} C_{y_{c.o.}}$  соответственно больше, чем для  $\alpha_s = 5^\circ$ . Следовательно, при росте амплитуды колебаний зависимость нестационарной составляющей от  $\xi$  отклоняется от линейной, и абсолютная и относительная погрешности от линеаризации этой составляющей также возрастают.

Поэтому при нахождении  $C_{y_{c.o.}}$  желательно использовать её нелинейное представление.

### **Заключение**

Работа посвящена вопросам исследования и моделирования аэродинамических характеристик высокоманевренных самолётов в продольном движении на больших углах атаки. Известная математическая модель [1, 2] аэродинамических коэффициентов нормальной силы  $C_y$  и момента тангажа  $m_z$  содержит три уравнения, в том числе дифференциальное (релаксационное) уравнение для внутренней переменной состояния  $X$ , характеризующей местоположение отрыва потока по хорде крыла. При этом величина  $X$ , соответствующая положению точки отрыва потока в стационарных условиях  $x_0$  зависит только от угла атаки  $\alpha$ . Два уравнения включают составляющие, зависящие от кинематических параметров, и статические составляющие, зависящие от  $x_0(\alpha)$ . Функцию  $x_0(\alpha)$  получают экспериментально или путём решения соответствующей задачи для вязкого воздушного потока. Модель этой зависимости опубликована в [8].

В данной работе с целью повышения точности моделирования предлагается новая математическая модель аэродинамических характеристик с введением точных (нелинейных) выражений составляющих  $C_{y_{c.o.}}$ ,  $m_{z_{c.o.}}$ , соответствующих структуре обтекания. Эта модель является единой для точных (нелинейных) и приближённых (линеаризованных) выражений  $C_{y_{c.o.}}$ ,  $m_{z_{c.o.}}$ . Предполагается, что статические (нелинейные) составляющие  $C_{y_H}(\alpha, x_0(\alpha))$ ,  $m_{z_H}(\alpha, x_0(\alpha))$  могут быть определены по данным испытаний в аэродинамической трубе, а значения вращательных производных  $C_{y_*}^{\bar{\omega}_z}$ ,  $m_{z_*}^{\bar{\omega}_z}$  уточняются. Предлагается два варианта аналитической зависимости  $x_0(\alpha)$ , даётся их

анализ и сравнение с известным вариантом [8]. На основе принятой зависимости  $x_0(\alpha)$  находится решение релаксационного уравнения с помощью программы “MathCAD”. Рассматриваются погрешности линеаризации отклонения  $\xi$  и нестационарной составляющей  $C_{y.c.o.}$ , соответствующей структуре обтекания, при возрастании амплитуды колебаний  $\alpha$ .

### **Список литературы**

1. Аэродинамика, устойчивость и управляемость сверхзвуковых самолетов. /Под ред. Г. С. Бюшгенса.-М.: Наука, 1998. – 816 с.
2. Аэродинамика летательных аппаратов. /Под ред. Г. А. Колесникова. – М.: Машиностроение, 1993. – 544 с.
3. Гоман М. Г., Столяров Г. И., Тыртышников С. Л., Усольцев С. П., Храбров А.Н.. Описание продольных аэродинамических характеристик самолета на больших углах атаки с учетом динамических эффектов отрывного обтекания. -Препринт ЦАГИ, 1990, № 9. -56 с.
4. Klein V. & Noderer K. D.. Modeling of Aircraft Unsteady Aerodynamic Characteristics. Part 1: Postulated models. NASA. TM. 109120, May 1994, 24 p.  
Part 2: Parameters estimated from wind tunnel data, NASA.TM. 110161, April 1995, 41 p.
5. Поплавский Б. К., Леонов В. А., Ниязманд М. А. Критерии апериодической и колебательной устойчивости самолётов в продольном движении на закритических углах атаки. // Вестник МАИ. -1999, т. 6, №2. –с.52-69.
6. Блинов А. Г., Гутник В. Б. Особенности динамики самолёта Су-27 при выполнении фигуры высшего пилотажа “Кобра Пугачёва”. //Техника Воздушного Флота. – 1990, № 2.
7. Захаров М. А. Математическое моделирование продольного движения самолёта Су-27 на больших углах атаки, с учётом отрывных обтеканий. / Захаров М. А, Леонов В. А. //Современные технологии в задачах управления, автоматизации и обработки информации”. X международный научно-технический семинар.: Алушта. 2001: Тез. докл. – Алушта, 2001. – с.240.
8. Moennich Wulf. SUMMARY REPORT MEETING No. 87 SAE AEROSPACE CONTROL AND GUIDANCE SYSTEMS COMMITTEE REGAL HARVEST HOUSE BOULDER, COLORADO 14-16 MARCH, 2001. 4.1.4 DLR-Institute of Flight Research (German Aerospace Center) “Modeling Unsteady Aerodynamics”. - p 7.

---

*Захаров Михаил Александрович, аспирант кафедры динамики и управления летательных аппаратов Московского авиационного института (государственного технического университета).*